NetWorks Sp. z o.o.
Laboratorium Badań Środowiskowych
ul. Józefa Piusa Dziekońskiego 3
00-728 Warszawa
e-mail: Laboratorium@networks.pl

AB 419

S P R A W O Z D A N I E 10015/2024/OS
Z POMIARÓW PÓL ELEKTROMAGNETYCZNYCH
WYKONANYCH DLA POTRZEB OCHRONY ŚRODOWISKA

Badany obiekt: Instalacja radiokomunikacyjna T-Mobile Polska S.A.

Numer i nazwa: 55768 (33617N!) KKA_BYTOM_KWKBOBREKCENT

Adres: BYTOM, ŁUŻYCKA 7,Powiat m. Bytom, WOJ. ŚLĄSKIE

Data wykonania pomiarów: 2025-03-12

Sprawozdanie z badań bez pisemnej zgody laboratorium nie może być powielane inaczej niż w całości.
Wynik przedstawione w niniejszym sprawozdaniu odnoszą się wyłącznie do badanego obiektu i do warunków i konfiguracji urządzeń w dniu wykonywania pomiarów.

1. **Właściciel badanego obiektu:**
   T-Mobile Polska S.A., ul. Marynarska 12, 02-674 Warszawa

2. **Zleceniodawca:**
   T-Mobile Polska S.A., ul. Marynarska 12, 02-674 Warszawa

3. **Przedstawiciel zleceniodawcy:**
   NetWorks Sp. z o.o.

4. **Zakres zlecenia:**
   Wykonanie badania i opracowanie sprawozdania z pomiarów natężenia pola elektrycznego i pola magnetycznego dla instalacji radiokomunikacyjnej T-Mobile Polska S.A. zlokalizowanej w miejscowości BYTOM, ŁUŻYCKA 7.

5. **Cel zlecenia:**
   Wykonanie pomiarów pól elektomagnetycznych w otoczeniu instalacji radiokomunikacyjnej 55768 (33617N!) KKA_BYTOM_KWKBOBREKCENT w odniesieniu do wymagań określonych w *Rozporządzeniu Ministra Klimatu z dnia 17 lutego 2020 r. w sprawie sposobów sprawdzania dotrzymania dopuszczalnych poziomów pól elektromagnetycznych w środowisku (Dz.U. 2022 poz. 2630).*

6. **Pomiary zostały wykonane przez:**
   Gucwa Mateusz
   Skrobol Wojciech

7. **Informacje o źródłach pól elektromagnetycznych**

7.1. Sposób identyfikacji badanych źródeł pól elektromagnetycznych

Identyfikacji źródeł i parametrów technicznych dokonano na podstawie analizy dokumentacji dotyczącej zlecenia oraz obserwacji miejsca wykonywania badań.

7.2. Opis miejsca zainstalowania anten i urządzeń technicznych. Opis obiektu badań i jego otoczenia

Instalacja radiokomunikacyjna zlokalizowana jest na dachu. Anteny zawieszono na wspornikach przytwierdzonych do elewacji budynku. Urządzenia sterujące oraz zasilające zainstalowano w szafie outdoor na dachu budynku. Wokół instalacji znajdują się tereny przemysłowe.
Instalacja radiokomunikacyjna jest obiektem bezobsługowym. Okresowe stanowiska pracy związane są z prowadzonymi w zależności od potrzeb konserwacjami, przeglądami, strojeniem i naprawami.

Sprawozdanie z badań bez pisemnej zgody laboratorium nie może być powielane inaczej niż w całości.
Wynik przedstawione w niniejszym sprawozdaniu odnoszą się wyłącznie do badanego obiektu i do warunków i konfiguracji urządzeń w dniu wykonywania pomiarów.

7.3. Parametry techniczne źródła pola elektromagnetycznego

Dane przedstawiające maksymalne parametry pracy instalacji przekazane przez zleceniodawcę:

Parametry systemu nadawczo-odbiorczego:

Charakterystyka promieniowania	kierunkowa
Rzeczywisty czas pracy [h/dobę]	24
Warunki pracy	znamionowe
Rodzaj wytwarzanego pola	stacjonarne

Lp.	Częstotliwość lub zakresy częstotliwości pracy [MHz]	Typ/producent anteny	liczba anten	Azymut [°]	kąt pochylenia [°]	Wysokość środka elektrycznego anteny [m n.p.t]	Równoważna moc promieniowana izotropowo (EIRP) [W]
1	800/900/1800/ 2100/2600	ASI4518R39v07 Huawei	1	0	2-12**/2-12**/ 2-12**/2-12**/ 2-12**	45	31563
2	3600	AAU5339W Huawei	1	0	-2-13**	45	76763
3	800/900/1800/ 2100/2600	ASI4518R39v07 Huawei	1	110	2-12**/2-12**/ 2-12**/2-12**/ 2-12**	45	31563
4	3600	AAU5339W Huawei	1	110	-2-13**	45	76763
5	800/900/1800/ 2100/2600	ASI4518R39v07 Huawei	1	220	2-12**/2-12**/ 2-12**/2-12**/ 2-12**	45	31563
6	3600	AAU5339W Huawei	1	220	-2-13**	45	76763

* wskazane wartości kąta pochylenia anten, zgodnie z informacją uzyskaną od zleceniodawcy, są wartościami stałymi

** pomiary wykonano zgodnie z pkt 13., ppkt 2 załącznika do Rozporządzenia Ministra Klimatu z dnia 17 lutego 2020 r. (Dz. U. 2022, poz. 2630).

Parametry radiolinii:

Charakterystyka promieniowania	kierunkowa
Rzeczywisty czas pracy [h/dobę]	24
Warunki pracy	znamionowe
Rodzaj wytwarzanego pola	stacjonarne

Lp.	Linia radiowa			Antena			
	Typ/ Producent	Częstotliwość pracy [GHz]	Równoważna moc promieniowana izotropowo (EIRP) [W]	Typ/ producent	Średnica anteny [m]	Azymut [°]	Wysokość zainstalowania n.p.t [m]
1.	RTN 380AX DC 70/80GHz 500MHz Huawei	80	1779	A80D03 Huawei	0.3	219	67.5

7.4 Inne źródła pól elektromagnetycznych

Na podstawie informacji otrzymanych od użytkownika oraz obserwacji otoczenia miejsca wykonywania pomiarów stwierdzono występowanie innych źródeł pola-EM, pracujących w systemie: telefonii komórkowej (800MHz-2600MHz),linii radiowych (5GHz – 90GHz), które istotnie wpływają na wyniki pomiarów.

Sprawozdanie z badań bez pisemnej zgody laboratorium nie może być powielane inaczej niż w całości.
Wynik przedstawione w niniejszym sprawozdaniu odnoszą się wyłącznie do badanego obiektu i do warunków i konfiguracji urządzeń w dniu wykonywania pomiarów.

8. Opis pomiarów

8.1. Metoda badań

Zgodna z rozporządzeniem Ministra Klimatu z dnia 17 lutego 2020 r. w sprawie sposobów sprawdzania dotrzymania dopuszczalnych poziomów pól elektromagnetycznych w środowisku (Dz.U. 2022 poz. 2630), określona w pkt 25 ppkt 1 załącznika do niniejszego rozporządzenia.

8.2. Termin pomiarów i warunki środowiskowe

Podczas wykonywania pomiarów pól elektromagnetycznych nie występowały opady atmosferyczne. Wyniki pomiaru parametrów pogodowych przedstawia poniższa tabela:

Data [rrrr-mm- dd]	Godzina [hh:mm-hh:mm]	Warunki środowiskowe			
		Temperatura [°C]		Wilgotność względna [%]	
2025-03-12	09:00-10:35	Przed pomiarem	Po pomiarach	Przed pomiarem	Po pomiarach
		8.4	11.2	65.4	63.3

Przedstawione wyżej warunki środowiskowe, występujące podczas wykonywania pomiarów pól elektromagnetycznych, są zgodne ze specyfikacją techniczną użytego zestawu pomiarowego.

8.3. Warunki pracy urządzeń nadawczych

Podczas pomiarów w przypadku uzyskania wyniku pomiaru szerokopasmowego wykonanego zastosowaną metodą, dla zakresów częstotliwości od 10 MHz do 300 GHz, powiększonego o rozszerzoną niepewność pomiaru U dla współczynnika rozszerzenia k = 2 przekraczającego 70% najniższej dopuszczalnej wartości składowej elektrycznej lub magnetycznej pola dla objętych pomiarami zakresów częstotliwości, uwzględnia się poprawki pomiarowe przekazane przez zleceniodawcę, umożliwiające uwzględnienie maksymalnych parametrów pracy instalacji zgodnie z pkt 7 załącznika do Rozporządzeniem Ministra Klimatu z dnia 17 lutego 2020 r. w sprawie sposobów sprawdzania dotrzymania dopuszczalnych poziomów pól elektromagnetycznych w środowisku (Dz. U. 2022, poz. 2630) zaznaczając, że wymagane jest wykonanie pomiaru z wykorzystaniem miernika selektywnego. W przypadku uzyskania wyniku pomiaru szerokopasmowego wykonanego zastosowaną metodą, dla zakresów częstotliwości od 10 MHz do 300 GHz, powiększonego o rozszerzoną niepewność pomiaru U dla współczynnika rozszerzenia k = 2 nieprzekraczającego 70% najniższej dopuszczalnej wartości składowej elektrycznej lub magnetycznej pola dla objętych pomiarami zakresów częstotliwości, nie uwzględnia się poprawek pomiarowych.

8.4. Wyposażenie pomiarowe

Zestaw pomiarowy służący do pomiaru natężenia składowej elektrycznej pola elektromagnetycznego złożony z szerokopasmowego miernika i sondy pomiarowej:

Oznaczenie miernika	Producent	Model	Numer fabryczny	Oznaczenie sondy	Producent	Model	Numer fabryczny
MW-09	Wavecontrol	Miernik pól elektromagnetycznych SMP3	23SL0221	SW-17	Wavecontrol	Sonda WPF90	23WP260005

Mierniki natężenia pola elektromagnetycznego podlegają okresowemu sprawdzeniu zgodnie z procedurą wewnętrzną P-03 i PB-01. Świadectwo wzorcowania zestawu pomiarowego z dnia 11 września 2023 o numerze LWiMP/W/333/23 wydane przez Politechnika Wrocławska.
Data ważności świadectwa wzorcowania: 11 września 2025 (zgodnie z procedurą wewnętrzną P-03).

Oznaczenie miernika	Producent	Model	Numer fabryczny	Oznaczenie sondy	Producent	Model	Numer fabryczny
MW-09	Wavecontrol	Miernik pól elektromagnetycznych SMP3	23SL0221	SW-18	Wavecontrol	Sonda WPF6-HP	23WP060414

Mierniki natężenia pola elektromagnetycznego podlegają okresowemu sprawdzeniu zgodnie z procedurą wewnętrzną P-03 i PB-01. Świadectwo wzorcowania zestawu pomiarowego z dnia 11 września 2023 o numerze LWiMP/W/333/23 wydane przez Politechnika Wrocławska.
Data ważności świadectwa wzorcowania: 11 września 2025 (zgodnie z procedurą wewnętrzną P-03).

Sprawozdanie z badań bez pisemnej zgody laboratorium nie może być powielane inaczej niż w całości.
Wynik przedstawione w niniejszym sprawozdaniu odnoszą się wyłącznie do badanego obiektu i do warunków i konfiguracji urządzeń w dniu wykonywania pomiarów.

Termohigrometr:

Oznaczenie:	TH-17	Producent:	AZ INSTRUMENT CORP	Model:	Termohigrometr AZ8706

Data ważności świadectwa wzorcowania: 23 maja 2027 (zgodnie z procedurą wewnętrzną P-03).

Dalmierz:

Oznaczenie	Producent	Typ	Numer seryjny	Nr świadectwa wzorcowania	Data świadectwa wzorcowania
D-12	Leica	Dalmierz Leica Disto D510	1050632837	4665.2-M11-4180-1748/15	27 listopada 2015

Data ważności świadectwa wzorcowania: 27 listopada 2025 (zgodnie z procedurą wewnętrzną P-03).

Odbiornik GNSS:

Odbiornik GNSS wbudowany w miernik natężenia pola elektromagnetycznego użyty podczas pomiarów	Producent	Model
	UBlox	MAX-M8Q

Odbiorniki podlegają okresowemu sprawdzeniu zgodnie z procedurą wewnętrzną P-03.

9. Wyniki pomiarów

Pole elektryczne

Nr pionu	Opis umiejscowienia pionu (punktu) pomiarowego	Wysokość pomiaru [m]	Zmierzona wartość natężenia pola elektrycznego E [V/m][1,5]			Wartość natężenia pola elektrycznego powiększona o niepewność pomiaru [4] E [V/m]	Wskaźnikowa wartość poziomu emisji pól elektromagnetycznych WM_E[3]	Współrzędne geograficzne pionu (punktu) pomiarowego [2]
			Sonda SW-17	Sonda SW-18	Wartość			
1	GKP w odległości poziomej 16m od anteny sektorowej az. 0°	0.3-2.0	<1.0*	<1.0*	<1.0*	1.3	0.05	50°21'18.4" 18°53'28.7"
2	GKP w odległości poziomej 97m od anteny sektorowej az. 0°	0.3-2.0	<1.0*	<1.0*	<1.0*	1.3	0.05	50°21'20.9" 18°53'28.7"
3	GKP w odległości 33m od anteny sektorowej az. 0°	0.3-2.0	<1.0*	<1.0*	<1.0*	1.3	0.05	50°21'21.2" 18°53'28.7"
4	GKP w odległości poziomej 25m od anteny sektorowej az. 110°	0.3-2.0	<1.0*	<1.0*	<1.0*	1.3	0.05	50°21'16.9" 18°53'29.8"
5	GKP w odległości poziomej 52m od anteny sektorowej az. 110°	0.3-2.0	<1.0*	<1.0*	<1.0*	1.3	0.05	50°21'16.6" 18°53'31.2"
-	GKP w odległości poziomej 127m od anteny sektorowej az. 110°	2.0	1.3	1.3	1.3	1.7	0.06	50°21'15.5" 18°53'34.8"
7	GKP w odległości poziomej 16m od anteny sektorowej az. 220°	0.3-2.0	<1.0*	<1.0*	<1.0*	1.3	0.05	50°21'16.6" 18°53'28.0"
8	GKP w odległości poziomej 52m od anteny sektorowej az. 220°	0.3-2.0	<1.0*	<1.0*	<1.0*	1.3	0.05	50°21'15.8" 18°53'26.9"
9	GKP w odległości poziomej 114m od anteny sektorowej az. 220°	0.3-2.0	<1.0*	<1.0*	<1.0*	1.3	0.05	50°21'14.0" 18°53'24.7"
10	GKP w odległości poziomej 16m od anteny radioliniowej az. 219°	0.3-2.0	<1.0*	<1.0*	<1.0*	1.3	0.05	50°21'16.9" 18°53'27.2"
11	GKP w odległości poziomej 57m od anteny radioliniowej az. 219°	0.3-2.0	<1.0*	<1.0*	<1.0*	1.3	0.05	50°21'15.8" 18°53'26.2"
12	PKP na az. 314° w odległości poziomej 40m od anteny sektorowej az. 0°	0.3-2.0	<1.0*	<1.0*	<1.0*	1.3	0.05	50°21'18.7" 18°53'27.2"
13	PKP na az. 330° w odległości poziomej 40m od anteny sektorowej az. 0°	0.3-2.0	<1.0*	<1.0*	<1.0*	1.3	0.05	50°21'18.7" 18°53'27.6"
14	PKP na az. 345° w odległości poziomej 56m od anteny sektorowej az. 0°	0.3-2.0	<1.0*	<1.0*	<1.0*	1.3	0.05	50°21'19.4" 18°53'28.0"
15	PKP na az. 15° w odległości poziomej 42m od anteny sektorowej az. 0°	0.3-2.0	<1.0*	<1.0*	<1.0*	1.3	0.05	50°21'19.1" 18°53'29.4"
16	PKP na az. 30° w odległości poziomej 56m od anteny sektorowej az. 0°	0.3-2.0	<1.0*	<1.0*	<1.0*	1.3	0.05	50°21'19.1" 18°53'30.1"
17	PKP na az. 46° w odległości poziomej 40m od anteny sektorowej az. 0°	0.3-2.0	<1.0*	<1.0*	<1.0*	1.3	0.05	50°21'18.7" 18°53'30.1"

Sprawozdanie z badań bez pisemnej zgody laboratorium nie może być powielane inaczej niż w całości.
Wynik przedstawione w niniejszym sprawozdaniu odnoszą się wyłącznie do badanego obiektu i do warunków i konfiguracji urządzeń w dniu wykonywania pomiarów.

18	PKP na az. 64° w odległości poziomej 25m od anteny sektorowej az. 110°	0.3-2.0	<1.0*	<1.0*	<1.0*	1.3	0.05	50°21'17.3" 18°53'29.8"
19	PKP na az. 80° w odległości poziomej 44m od anteny sektorowej az. 110°	0.3-2.0	<1.0*	<1.0*	<1.0*	1.3	0.05	50°21'17.3" 18°53'30.8"
20	PKP na az. 95° w odległości poziomej 39m od anteny sektorowej az. 110°	0.3-2.0	<1.0*	<1.0*	<1.0*	1.3	0.05	50°21'16.9" 18°53'30.5"
21	PKP na az. 125° w odległości poziomej 23m od anteny sektorowej az. 110°	0.3-2.0	<1.0*	<1.0*	<1.0*	1.3	0.05	50°21'16.6" 18°53'29.8"
22	PKP na az. 140° w odległości poziomej 30m od anteny sektorowej az. 110°	0.3-2.0	<1.0*	<1.0*	<1.0*	1.3	0.05	50°21'16.2" 18°53'29.8"
23	PKP na az. 156° w odległości poziomej 19m od anteny sektorowej az. 110°	0.3-2.0	<1.0*	<1.0*	<1.0*	1.3	0.05	50°21'16.6" 18°53'29.0"
24	PKP na az. 174° w odległości poziomej 16m od anteny sektorowej az. 220°	0.3-2.0	<1.0*	<1.0*	<1.0*	1.3	0.05	50°21'16.6" 18°53'28.7"
25	PKP na az. 190° w odległości poziomej 32m od anteny sektorowej az. 220°	0.3-2.0	<1.0*	<1.0*	<1.0*	1.3	0.05	50°21'15.8" 18°53'28.3"
26	PKP na az. 205° w odległości poziomej 25m od anteny sektorowej az. 220°	0.3-2.0	<1.0*	<1.0*	<1.0*	1.3	0.05	50°21'16.2" 18°53'28.0"
27	PKP na az. 235° w odległości poziomej 22m od anteny sektorowej az. 220°	0.3-2.0	<1.0*	<1.0*	<1.0*	1.3	0.05	50°21'16.6" 18°53'27.6"
28	PKP na az. 250° w odległości poziomej 35m od anteny sektorowej az. 220°	0.3-2.0	<1.0*	<1.0*	<1.0*	1.3	0.05	50°21'16.6" 18°53'26.9"
29	PKP na az. 266° w odległości poziomej 30m od anteny sektorowej az. 220°	0.3-2.0	<1.0*	<1.0*	<1.0*	1.3	0.05	50°21'16.9" 18°53'26.9"
-	GKP w odległości poziomej 607m od anteny sektorowej az. 0°	0.3-2.0	<1.0*	<1.0*	<1.0*	1.3	0.05	50°21'37.4" 18°53'28.7"
-	GKP w odległości poziomej 361m od anteny sektorowej az. 110°	0.3-2.0	<1.0*	<1.0*	<1.0*	1.3	0.05	50°21'13.0" 18°53'46.0"
-	GKP w odległości poziomej 404m od anteny sektorowej az. 220°	2.0	**1.4**	**1.4**	**1.4**	1.8	0.06	50°21'6.8" 18°53'15.4"
33	DPP budynek instalacji radiokomunikacyjnej, ostatnia kondygnacja budynku, pion przy windzie poziom operatora szybu ul Łużycka 7	0.3-2.0	<1.0*	<1.0*	<1.0*	1.3	0.05	50°21'17.3" 18°53'28.3"
34	DPP w świetle okna budynku Łaźnie piętro 1z1 ul. Łużycka 7	0.3-2.0	<1.0*	<1.0*	<1.0*	1.3	0.05	50°21'18.0" 18°53'31.9"
35	DPP budynek biurowy, pomiar w pokoju sztygarów piętro 1z1 ul. Łużycka 7	0.3-2.0	<1.0*	<1.0*	<1.0*	1.3	0.05	50°21'15.8" 18°53'30.8"
36	DPP budynek techniczny kopalni w świetle okna piętro 1z1 ul. Łużycka 7	0.3-2.0	<1.0*	<1.0*	<1.0*	1.3	0.05	50°21'16.6" 18°53'31.9"
37	DPP budynek rozdzielni w świetle okna ostatnia kondygnacja budynku ul. Łużycka 7	0.3-2.0	<1.0*	<1.0*	<1.0*	1.3	0.05	50°21'22.3" 18°53'26.5"

Pole magnetyczne (wyznaczone na podstawie pomiaru wartości natężenia pola elektrycznego)

Nr pionu	Opis umiejscowienia pionu (punktu) pomiarowego	Wysokość pomiaru [m]	Wartość natężenia pola magnetycznego H [A/m][1]			Wartość natężenia pola magnetycznego powiększona o niepewność pomiaru[4] H [A/m]	Wskaźnikowa wartość poziomu emisji pól elektromagnetycznych WM_H[3]	Współrzędne geograficzne pionu (punktu) pomiarowego[2]
			Sonda SW-17	Sonda SW-18	Wartość			
1	GKP w odległości poziomej 16m od anteny sektorowej az. 0°	0.3-2.0	<0.003*	<0.003*	<0.003*	0.003	0.05	50°21'18.4" 18°53'28.7"
2	GKP w odległości poziomej 97m od anteny sektorowej az. 0°	0.3-2.0	<0.003*	<0.003*	<0.003*	0.003	0.05	50°21'20.9" 18°53'28.7"

Sprawozdanie z badań bez pisemnej zgody laboratorium nie może być powielane inaczej niż w całości.
Wynik przedstawione w niniejszym sprawozdaniu odnoszą się wyłącznie do badanego obiektu i do warunków i konfiguracji urządzeń w dniu wykonywania pomiarów.

3	GKP w odległości 33m od anteny sektorowej az. 0°	0.3-2.0	<0.003*	<0.003*	<0.003*	0.003	0.05	50°21'21.2" 18°53'28.7"
4	GKP w odległości poziomej 25m od anteny sektorowej az. 110°	0.3-2.0	<0.003*	<0.003*	<0.003*	0.003	0.05	50°21'16.9" 18°53'29.8"
5	GKP w odległości poziomej 52m od anteny sektorowej az. 110°	0.3-2.0	<0.003*	<0.003*	<0.003*	0.003	0.05	50°21'16.6" 18°53'31.2"
-	GKP w odległości poziomej 127m od anteny sektorowej az. 110°	2.0	0.003	0.003	0.003	0.004	0.06	50°21'15.5" 18°53'34.8"
7	GKP w odległości poziomej 16m od anteny sektorowej az. 220°	0.3-2.0	<0.003*	<0.003*	<0.003*	0.003	0.05	50°21'16.6" 18°53'28.0"
8	GKP w odległości poziomej 52m od anteny sektorowej az. 220°	0.3-2.0	<0.003*	<0.003*	<0.003*	0.003	0.05	50°21'15.8" 18°53'26.9"
9	GKP w odległości poziomej 114m od anteny sektorowej az. 220°	0.3-2.0	<0.003*	<0.003*	<0.003*	0.003	0.05	50°21'14.0" 18°53'24.7"
10	GKP w odległości poziomej 16m od anteny radioliniowej az. 219°	0.3-2.0	<0.003*	<0.003*	<0.003*	0.003	0.05	50°21'16.9" 18°53'27.2"
11	GKP w odległości poziomej 57m od anteny radioliniowej az. 219°	0.3-2.0	<0.003*	<0.003*	<0.003*	0.003	0.05	50°21'15.8" 18°53'26.2"
12	PKP na az. 314° w odległości poziomej 40m od anteny sektorowej az. 0°	0.3-2.0	<0.003*	<0.003*	<0.003*	0.003	0.05	50°21'18.7" 18°53'27.2"
13	PKP na az. 330° w odległości poziomej 40m od anteny sektorowej az. 0°	0.3-2.0	<0.003*	<0.003*	<0.003*	0.003	0.05	50°21'18.7" 18°53'27.6"
14	PKP na az. 345° w odległości poziomej 56m od anteny sektorowej az. 0°	0.3-2.0	<0.003*	<0.003*	<0.003*	0.003	0.05	50°21'19.4" 18°53'28.0"
15	PKP na az. 15° w odległości poziomej 42m od anteny sektorowej az. 0°	0.3-2.0	<0.003*	<0.003*	<0.003*	0.003	0.05	50°21'19.1" 18°53'29.4"
16	PKP na az. 30° w odległości poziomej 56m od anteny sektorowej az. 0°	0.3-2.0	<0.003*	<0.003*	<0.003*	0.003	0.05	50°21'19.1" 18°53'30.1"
17	PKP na az. 46° w odległości poziomej 40m od anteny sektorowej az. 0°	0.3-2.0	<0.003*	<0.003*	<0.003*	0.003	0.05	50°21'18.7" 18°53'30.1"
18	PKP na az. 64° w odległości poziomej 25m od anteny sektorowej az. 110°	0.3-2.0	<0.003*	<0.003*	<0.003*	0.003	0.05	50°21'17.3" 18°53'29.8"
19	PKP na az. 80° w odległości poziomej 44m od anteny sektorowej az. 110°	0.3-2.0	<0.003*	<0.003*	<0.003*	0.003	0.05	50°21'17.3" 18°53'30.8"
20	PKP na az. 95° w odległości poziomej 39m od anteny sektorowej az. 110°	0.3-2.0	<0.003*	<0.003*	<0.003*	0.003	0.05	50°21'16.9" 18°53'30.5"
21	PKP na az. 125° w odległości poziomej 23m od anteny sektorowej az. 110°	0.3-2.0	<0.003*	<0.003*	<0.003*	0.003	0.05	50°21'16.6" 18°53'29.8"
22	PKP na az. 140° w odległości poziomej 30m od anteny sektorowej az. 110°	0.3-2.0	<0.003*	<0.003*	<0.003*	0.003	0.05	50°21'16.2" 18°53'29.8"
23	PKP na az. 156° w odległości poziomej 19m od anteny sektorowej az. 110°	0.3-2.0	<0.003*	<0.003*	<0.003*	0.003	0.05	50°21'16.6" 18°53'29.0"
24	PKP na az. 174° w odległości poziomej 16m od anteny sektorowej az. 220°	0.3-2.0	<0.003*	<0.003*	<0.003*	0.003	0.05	50°21'16.6" 18°53'28.7"
25	PKP na az. 190° w odległości poziomej 32m od anteny sektorowej az. 220°	0.3-2.0	<0.003*	<0.003*	<0.003*	0.003	0.05	50°21'15.8" 18°53'28.3"
26	PKP na az. 205° w odległości poziomej 25m od anteny sektorowej az. 220°	0.3-2.0	<0.003*	<0.003*	<0.003*	0.003	0.05	50°21'16.2" 18°53'28.0"
27	PKP na az. 235° w odległości poziomej 22m od anteny sektorowej az. 220°	0.3-2.0	<0.003*	<0.003*	<0.003*	0.003	0.05	50°21'16.6" 18°53'27.6"
28	PKP na az. 250° w odległości poziomej 35m od anteny sektorowej az. 220°	0.3-2.0	<0.003*	<0.003*	<0.003*	0.003	0.05	50°21'16.6" 18°53'26.9"
29	PKP na az. 266° w odległości poziomej 30m od anteny sektorowej az. 220°	0.3-2.0	<0.003*	<0.003*	<0.003*	0.003	0.05	50°21'16.9" 18°53'26.9"
-	GKP w odległości poziomej 607m od anteny sektorowej az. 0°	0.3-2.0	<0.003*	<0.003*	<0.003*	0.003	0.05	50°21'37.4" 18°53'28.7"
-	GKP w odległości poziomej 361m od anteny sektorowej az. 110°	0.3-2.0	<0.003*	<0.003*	<0.003*	0.003	0.05	50°21'13.0" 18°53'46.0"

Sprawozdanie z badań bez pisemnej zgody laboratorium nie może być powielane inaczej niż w całości.
Wynik przedstawione w niniejszym sprawozdaniu odnoszą się wyłącznie do badanego obiektu i do warunków i konfiguracji urządzeń w dniu wykonywania pomiarów.

-	GKP w odległości poziomej 404m od anteny sektorowej az. 220°	2.0	**0.004**	**0.004**	0.004	0.005	0.07	50°21'6.8" 18°53'15.4"
33	DPP budynek instalacji radiokomunikacyjnej, ostatnia kondygnacja budynku, pion przy windzie poziom operatora szybu ul Łużycka 7	0.3-2.0	<0.003*	<0.003*	<0.003*	0.003	0.05	50°21'17.3" 18°53'28.3"
34	DPP w świetle okna budynku Łaźnie piętro 1z1 ul. Łużycka 7	0.3-2.0	<0.003*	<0.003*	<0.003*	0.003	0.05	50°21'18.0" 18°53'31.9"
35	DPP budynek biurowy, pomiar w pokoju sztygarów piętro 1z1 ul. Łużycka 7	0.3-2.0	<0.003*	<0.003*	<0.003*	0.003	0.05	50°21'15.8" 18°53'30.8"
36	DPP budynek techniczny kopalni w świetle okna piętro 1z1 ul. Łużycka 7	0.3-2.0	<0.003*	<0.003*	<0.003*	0.003	0.05	50°21'16.6" 18°53'31.9"
37	DPP budynek rozdzielni w świetle okna ostatnia kondygnacja budynku ul. Łużycka 7	0.3-2.0	<0.003*	<0.003*	<0.003*	0.003	0.05	50°21'22.3" 18°53'26.5"

GKP – Główny Kierunek Pomiarowy
DPP – Dodatkowy Pion Pomiarowy
PKP – Pomocniczy Kierunek Pomiarowy
[1] wyniki oznaczone * są wynikami poniżej czułości zestawu pomiarowego i są wynikami spoza zakresu akredytacji. Do obliczenia wyniku skorygowanego przyjęto wartość skorelowaną z rzeczywistym wynikiem pomiaru - dolną granicę akredytowanego zakresu pomiarowego metody
[2] współrzędne geograficzne pozyskane metodą pomiaru bezpośredniego
[3] do wyznaczenia wartości wskaźnikowej WM_E i WM_H przyjęto na podstawie uzgodnień z klientem oraz rozpoznania źródeł, jako wartości dopuszczalne pola elektrycznego i magnetycznego odpowiednio 28 V/m i 0,073 A/m.
[4] do wyznaczenia niepewności dla wyników poniżej czułości zestawu pomiarowego, przyjęto niepewność dla minimalnej wartości z zakresu pomiarowego.
[5] maksymalna wartość chwilowa
Niepewność oszacowano zgodnie z dokumentem P-03 „Procedura nadzoru nad wyposażeniem" w postaci niepewności rozszerzonej wynikającej z niepewności standardowej pomnożonej przez współczynnik rozszerzenia k=2.
Całkowita szacowana niepewność rozszerzona składowej E wynosi odpowiednio:
sonda SW-17: 28.5% dla częstotliwości do 4 GHz, sonda SW-18: 26.2% dla częstotliwości do 4 GHz
Pomiar wykonany metodą 2 sond, opisaną w artykule Medycyna Pracy 2015;66(5):701–712 „Optymalizacja metodyki pomiaru wieloczęstotliwościowego pola elektromagnetycznego stacji bazowych telefonii komórkowej".

Umiejscowienie pionów (punktów) pomiarowych przedstawiono w załączniku nr 2 do niniejszego sprawozdania.

10. Omówienie wyników pomiarów

W związku z tym, że żadna z wartości zmierzonych, udokumentowanych w tabelach w pkt. 9, uzyskanych w skutek zastosowania pomiaru szerokopasmowego, powiększonego o rozszerzoną niepewność pomiaru U dla współczynnika rozszerzenia k = 2 nie przekroczyła 70% najniższej dopuszczalnej wartości składowej elektrycznej lub magnetycznej pola dla objętych pomiarami zakresów częstotliwości, nie uwzględnia się poprawek pomiarowych.

W wyniku zastosowania sposobu sprawdzenia dotrzymania dopuszczalnych poziomów pól elektromagnetycznych w środowisku, zgodnie pkt 25 ppkt 1 Rozporządzenia Ministra Klimatu z dnia 17 lutego 2020 r. (Dz. U. 2022, poz. 2630), w związku z tym, że żadna z wartości wskaźnikowych, udokumentowanych w tabelach w pkt. 9 nie przekracza wartości 1, stwierdza się, że w miejscach, w których wykonano pomiary w otoczeniu instalacji radiokomunikacyjnej 55768 (33617N!) KKA_BYTOM_KWKBOBREKCENT, dopuszczalne poziomy pól elektromagnetycznych w środowisku należy uznać za dotrzymane.

Sprawozdanie z badań bez pisemnej zgody laboratorium nie może być powielane inaczej niż w całości.
Wynik przedstawione w niniejszym sprawozdaniu odnoszą się wyłącznie do badanego obiektu i do warunków i konfiguracji urządzeń w dniu wykonywania pomiarów.

11. Podstawa prawna

1) Ustawa z dnia 27 kwietnia 2001 r. Prawo ochrony środowiska (Dz.U. 2024 poz. 54 z późn. zm.)
2) Rozporządzenie Ministra Zdrowia z dnia 17 grudnia 2019 r. w sprawie dopuszczalnych poziomów pól elektromagnetycznych w środowisku (Dz. U. 2019, poz. 2448)
3) Rozporządzenie Ministra Klimatu z dnia 17 lutego 2020 r. w sprawie sposobów sprawdzania dotrzymania dopuszczalnych poziomów pól elektromagnetycznych w środowisku (Dz. U. 2022, poz. 2630),
4) Akredytacja nr AB 419 wydana przez Polskie Centrum Akredytacji (wydanie 22, z dnia 9 stycznia 2024 r.)

12. Spis załączników

Załącznik 1. Lokalizacja obiektu badań
Załącznik 2. Usytuowanie pionów (punktów) pomiarowych
Załącznik 3. Dokumentacja fotograficzna obiektu badań

13. Data wydania i autoryzowania sprawozdania

Obliczenia i sprawozdanie wykonał :

Signed by /
Podpisano przez:

Anna Kacperska

Date / Data:
2025-03-18 08:21

Sprawozdanie autoryzował:

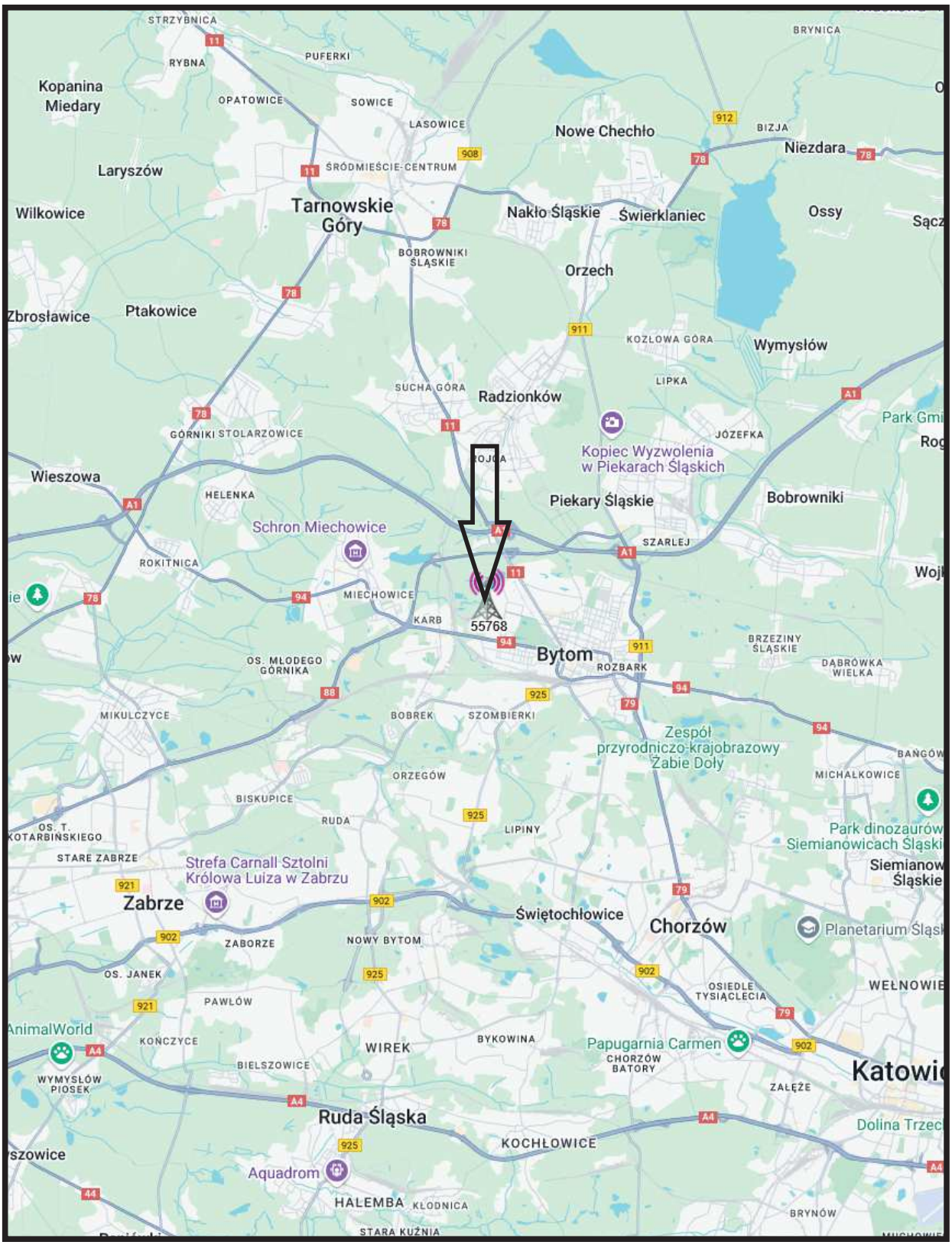
Signed by /
Podpisano przez:

Agnieszka Harbacewicz

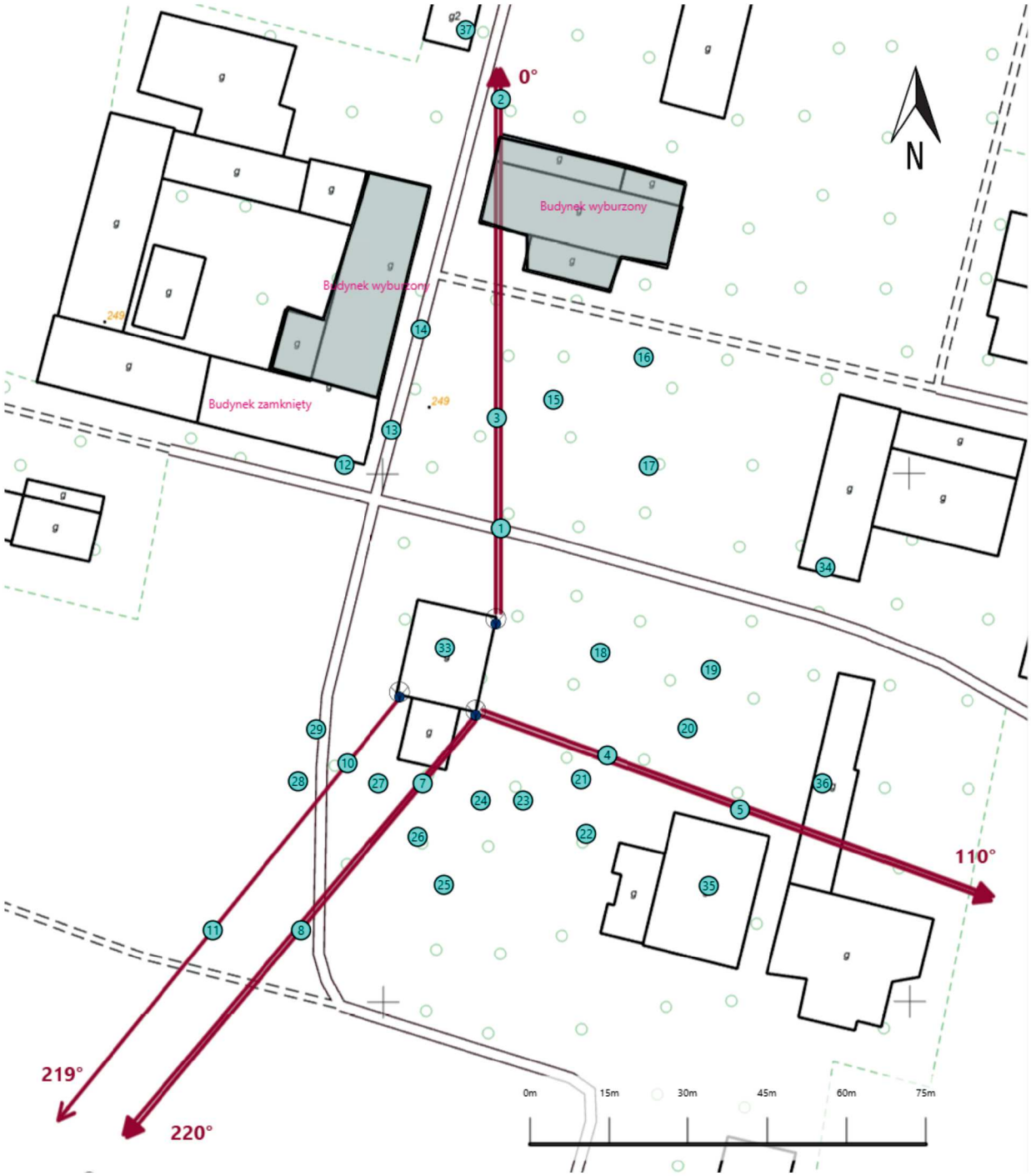
Date / Data: 2025-03-18 09:34

Koniec sprawozdania

Sprawozdanie z badań bez pisemnej zgody laboratorium nie może być powielane inaczej niż w całości.
Wynik przedstawione w niniejszym sprawozdaniu odnoszą się wyłącznie do badanego obiektu i do warunków i konfiguracji urządzeń w dniu wykonywania pomiarów.



Załącznik nr 1	**INSTALACJA RADIOKOMUNIKACYJNA T-Mobile Polska S.A.** 55768 (33617N!) KKA_BYTOM_KWKBOBREKCENT Lokalizacja instalacji radiokomunikacyjnej



Załącznik nr 2	Instalacja radiokomunikacyjna T-Mobile Polska S.A. KKA_BYTOM_KWKBOBREKCENT (33617N!) Usytuowanie pionów pomiarowych w otoczeniu instalacji radiokomunikacyjnej
	Legenda: Źródło pola elektromagnetycznego Brak dostępu Pion pomiarowy Kierunek oddziaływania anten sektorowych Kierunek oddziaływania anten radioliniowych



Załącznik nr 3	**INSTALACJA RADIOKOMUNIKACYJNA T-Mobile Polska S.A.** 55768 (33617N!) KKA_BYTOM_KWKBOBREKCENT Zdjęcia instalacji radiokomunikacyjnej